

- [1] Клин В. П., Нам Б. П., Павлов В. Т. и др. // Электронная техника Сер. Материалы 1981. Вып. 12 (161). С. 19—21.
- [2] Малоземов А., Слонзуски Дж. Доменные стенки в материалах с цилиндрическими магнитными доменами. М.: Мир, 1982. 382 с.
- [3] Губарев А. П., Рандошкин В. В., Сигачев В. Б. и др. // ЖТФ. 1985. Т. 55. Вып. 7. С. 1393—1399.
- [4] Ануфриев А. Н., Кожухарь А. Ю., Летюк Л. М. и др. // Электронная техника. Сер. Материалы. 1987. Вып. 1 (222). С. 24—27.
- [5] Ануфриев А. Н., Бондарь С. А., Кожухарь А. Ю. и др. // ЖТФ. 1985. Т. 55. Вып. 5. С. 945—948.

Московский институт  
стали и сплавов

Поступило в Редакцию  
2 октября 1987 г.  
В окончательной редакции  
24 марта 1987 г.

05; 06; 07; 12

Журнал технической физики, т. 59, в. 2, 1989 г.

## ИОННЫЙ ОБМЕН В КРИСТАЛЛАХ СЕЛЕНИДА ЦИНКА

А. О. Алексанян, В. А. Ганшин, Ю. Н. Коркишко, В. З. Петрова

Одним из перспективных направлений интегральной оптики является разработка интегрально-оптических устройств на единой подложке полупроводниковых соединений  $A^2B^6$  [1]. В настоящее время применяются два метода получения световодных монокристаллических слоев  $A^2B^6$ : 1) диффузия в монокристаллы  $A^2B^6$  из газовой фазы с образованием слоя твердых растворов переменного состава типа  $Cd_{S_{1-x}}Se_x$  [2],  $Cd_xZn_{1-x}Se_x$  [3],  $ZnS_{1-x}Se_x$  и др. [4]; 2) epitаксиальный рост слоев  $A^2B^6$  на различных подложках [5].

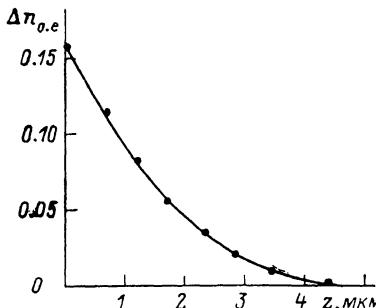
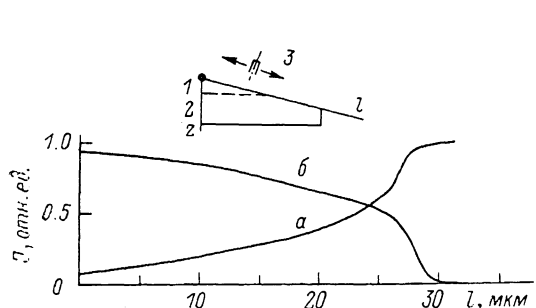


Рис. 1. Схема анализа и распределение относительной интенсивности рентгеновских сигналов, соответствующих цинку (а) и кадмию (б) по длине косого шлифа.

1 — световодная область  $Cd_xZn_{1-x}Se_x$ , 2 — подложка ZnSe, 3 — микрозонд.

Рис. 2. Профиль показателей преломления обыкновенного и необыкновенного лучей в ионообменном Cd : ZnSe световоде.

Сплошная линия — функция вида (1),  $d = 2.86$  мкм.

Нами установлена возможность протекания процесса ионного обмена  $Cd^{2+} \rightleftharpoons Zn^{2+}$  в кристаллах ZnSe в многокомпонентных расплавах солей, содержащих ионы  $Zn^{2+}$  и  $Cd^{2+}$ , при температурах ниже 400 °C. В экспериментах использовались химически полированные пластины монокристаллов селенида цинка, выращенные из паровой фазы.

Для исследований использовались методы рентгеновского микроанализа по косому шлифу (установка РЭМ-100-У) и волноводно-оптического измерения эффективных показателей преломления (ЭПП), включая восстановление профиля показателя преломления (ППП) методом кусочно-линейной аппроксимации в ВКБ приближении с учетом одноосной распределенной анизотропии поверхностных слоев.

На рис. 1 представлены результаты исследований распределения элементов в поверхностной области кристалла. Необходимо отметить, что глубина анализируемой области сравнима

с глубиной ионообменного слоя, поэтому относительная интенсивность рентгеновского сигнала, соответствующего исследуемому элементу, непропорциональна его концентрации. Характер профилей распределения сигналов указывает на ионообменный механизм процесса. Кроме того, условия процессов обусловливают наличие в расплавах ионов Cd<sup>2+</sup> и отсутствие ионизированных атомов кадмия. Поэтому для обеспечения электронейтральности кристалла необходимо равенство диффузионных потоков ионов Cd<sup>2+</sup> из расплава в кристалл и ионов Zn<sup>2+</sup> из кристалла в расплав.

В процессе указанного ионного обмена формируется область с повышенными значениями показателей преломления обыкновенного (*o*-) и необыкновенного (*e*-) лучей, что обеспечивает волноводное распространение мод *TE* и *TM* поляризаций. Точность измерения ЭПП на длине волны 633 нм не позволила разделить восстановленные ППП *o*- и *e*-лучей. На рис. 2 показан профиль показателя преломления, соответствующий лучам обоих типов. Восстановленные ППП *o*- и *e*-лучей хорошо описываются уравнением вида

$$\Delta n_{o, e}(z) = (n_{o, e}(0) - n_{o, e}(\infty)) \operatorname{erfc}\left(\frac{z}{d}\right), \quad (1)$$

где *z* — расстояние от поверхности кристалла,  $\Delta n_{o, e}(z)$  — функция приращения показателя преломления,  $n_{o, e}(0)$  — показатель преломления на поверхности кристалла,  $n_{o, e}(\infty)$  — показатель преломления подложки *o*- и *e*-луча соответственно.

Согласно [6, 7], уравнение, описывающее процесс ионообменной диффузии, имеет вид

$$\frac{du}{dt} = \frac{\partial}{\partial z} \left( \frac{D_a}{1 - \alpha u} \frac{\partial U}{\partial z} \right), \quad (2)$$

где  $U = C_a/C_a + C_b$ ,  $C_a$  и  $C_b$  — концентрации,  $D_a$  и  $D_b$  — коэффициенты диффузии ионов Cd<sup>2+</sup> и Zn<sup>2+</sup> соответственно,  $\alpha = (D_b - D_a)/D_b$ .

Видно, что при  $\alpha \approx 0$  уравнение (2) переходит в уравнение второго закона Фика, решением которого при диффузии из бесконечного источника является функция типа (1), где  $d = 2\sqrt{D_a t}$ . Очевидно, в предположении пропорциональности ППП и профиля концентрации в ионообменных Cd : ZnSe световодах  $D_a \approx D_b$ . В условиях проведения процесса получения Cd : ZnSe световода, ППП которого представлен на рис. 2,  $D_a = 3.8 \cdot 10^{-12}$  см<sup>2</sup>/с. Варьирование параметрами процесса позволяет формировать одно- и многомодовые световоды.

Известные ранее процессы ионного обмена в монокристаллах относятся к ниобату и танталату лития. В них могут принимать участие одновалентные ионы H<sup>+</sup>, K<sup>+</sup>, Cu<sup>+</sup>, Ag<sup>+</sup>, Tl<sup>+</sup> [8, 9]. Наши исследования показали возможность участия в ионообменных процессах двухвалентных ионов. Представленные в работе результаты показывают возможность эффективного получения при низких температурах в расплавах солей ионообменных световодов на основе твердых растворов Cd<sub>x</sub>Zn<sub>1-x</sub>Se с широким диапазоном приращения показателя преломления.

В других кристаллах класса A<sup>2</sup>B<sup>6</sup> также возможно протекание ионообменных процессов, в которых могут принимать участие различные двухвалентные катионы. О результатах этих исследований будет сообщено в дальнейших работах.

Авторы выражают благодарность С. В. Седову за проведение рентгеновского микронализма.

## Литература

- [1] Семенов А. С., Смирнов В. Л., Шмалько А. В. // Квант. электр. 1987. Т. 14. Вып. 7. С. 1319—1360.
- [2] Taylor H. F., Martin W. E., Hall D. B., Smiley V. N. // Appl. Phys. Lett. 1972. Vol. 21. N 2. P. 95—98.
- [3] Воеводин В. Г., Даудова Т. А., Морозов А. Н. и др. // Тез. докл. VII конф. по процессам роста и синтеза полупроводниковых кристаллов и пленок. Новосибирск, 1986. С. 67—68.
- [4] Берченко Н. Н., Кревс В. Е., Средин В. Г. Полупроводниковые твердые растворы и их применение. М.: Воен. изд-во, 1982. 210 с.
- [5] Калинкин И. А., Алексеевский В. Б., Симашкевич А. В. Эпитаксиальные пленки соединений A<sub>II</sub>B<sub>VI</sub>. Изд. 1978. 310 с.
- [6] Begun G. M., Fletcher W. H. // J. Chem. Phys. 1958. Vol. 28. N 3. P. 418—425.
- [7] Wilkinson C. D. W., Walker R. // Electron. Lett. 1978. Vol. 14. N 18. P. 599—600.
- [8] Ганышин В. А., Коркишко Ю. Н., Петрова В. З. // Обзоры по электронной технике. Сер. II. Лазерная техника и оптоэлектроника. 1978. Вып. 2 (1174). С. 56.
- [9] Ганышин В. А., Иванов В. Ш., Коркишко Ю. Н., Петрова В. З. // ЖТФ. 1986. Т. 56. Вып. 7. С. 1354—1362.